系爭專利主要圖式

1.圖 6 係系爭專利之發明之一光學濾波器之一剖面之一示意性圖解說明

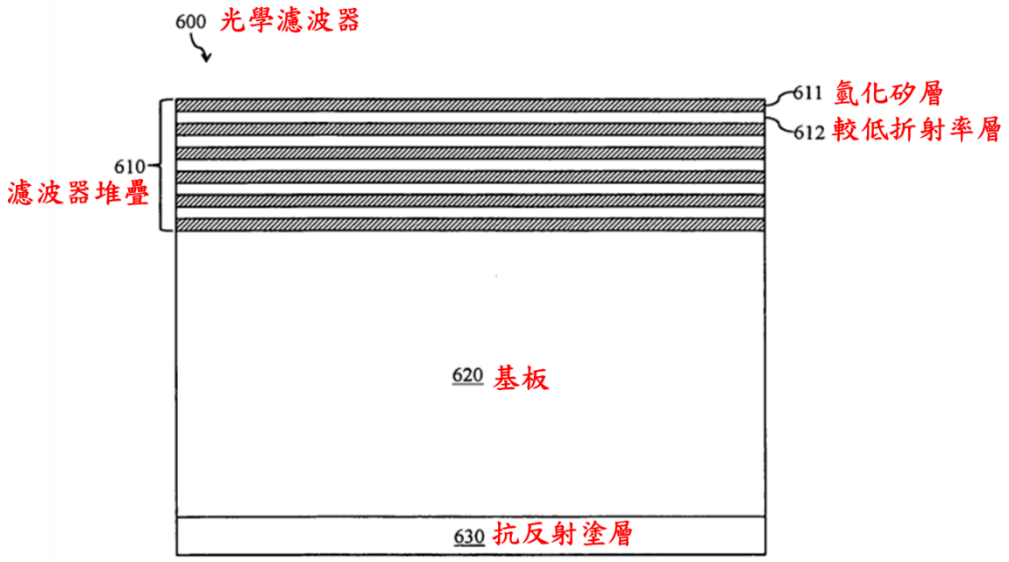


圖 6

2. 圖 7A 係比較圖 1 之第一習用光學濾波器與根據本發明之一第一例示性光學濾波器之性質之一表

第一習用光學濾波器與第一例示性光學濾波器之比較		
性質	第一習用光學濾波器	第一例示性光學濾波器
半峰全幅值(nm)	66.0	46.5
中心波長移位，0°至 30°(nm)	−29.1	−12.2
2856 K 黑體之背景透射率(%)	14.8	9.75
總塗層厚度(nm)	24432	5688

圖 7A

3. 圖 7D 係係第一例示性光學濾波器在 0°及 30°之入射角下之透射光譜之一曲線圖

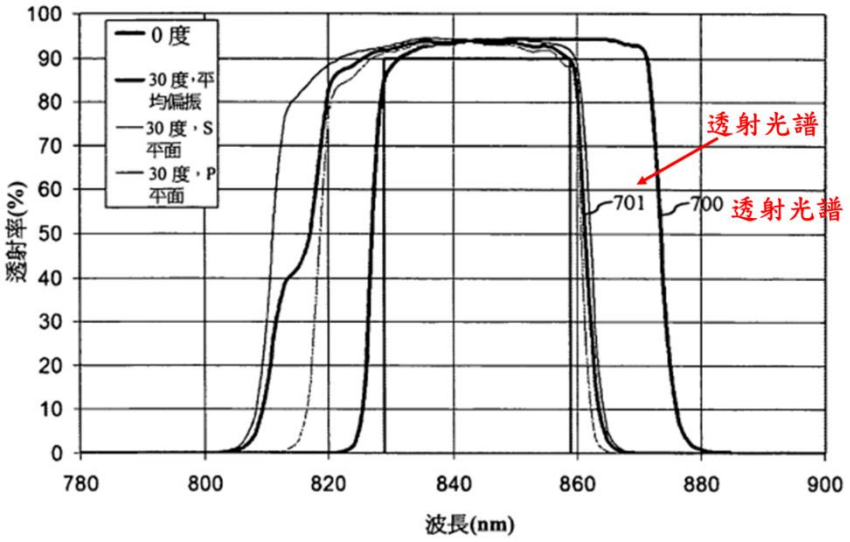


圖 7D

證據 2 主要圖式

(1)第 10 圖係帶通濾波器的結構的截面圖

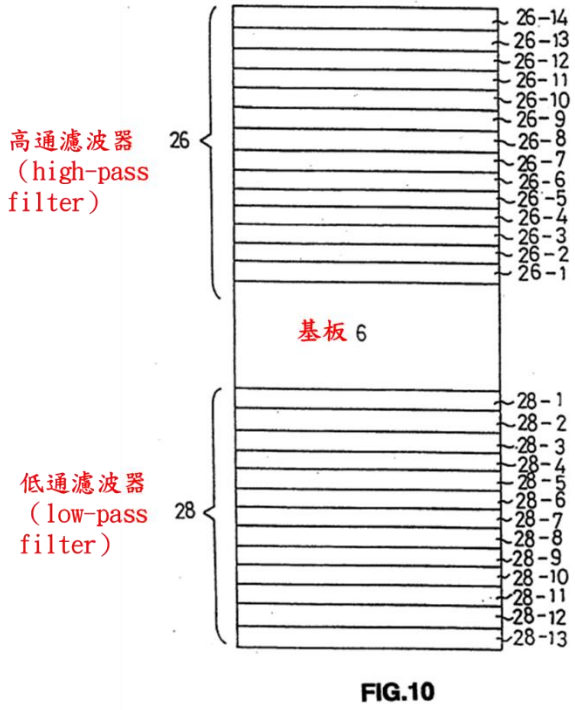


FIG.10

(2)表 1 係圖 4 濾波器結構描述表

表 1

層編號	材料	幾何厚度(nm)	光學厚度(nm)	折射率 (λ_0= 500 nm)
基板	康寧7059玻璃	200		1.52
26-1	a-Si:H	11.42	41.3	3.62-0.3i
26-2	a-SiNx:H	130.7	237.9	1.82
26-3	a-Si:H	33.47	121.2	3.62-0.3i
26-4	a-SiNx:H	77.06	140.2	1.82
26-5	a-Si:H	58.68	212.4	3.62-0.3i
26-6	a-SiNx:H	42.10	76.6	1.82
26-7	a-Si:H	85.26	308.6	3.62-0.3i
26-8	a-SiNx:H	52.50	95.6	1.82
26-9	a-Si:H	50.21	181.8	3.62-0.3i
26-10	a-SiNx:H	86.17	156.8	1.82
26-11	a-Si:H	48.49	175.5	3.62-0.3i
26-12	a-SiNx:H	66.85	121.7	1.82
26-13	a-Si:H	45.20	163.6	3.62-0.3i
26-14	a-SiNx:H	184.99	336.7	1.82
	空氣			1

該表 1 摘自證據 2 對照於證據 2-1 中文翻譯本第 4 頁

(3)表 3 描述 13 層低通濾波器的結構參數

表 3

層	材料	幾何厚度(nm)	光學厚度(nm)	折射率 (λ_0= 500 nm)
基板	康寧7059玻璃			1.52
28-1	a-SiNx:H	69.73	126.9	1.82
28-2	a-Si:H	99.84	361.4	3.62-0.3i
28-3	a-SiNx:H	177.52	323.1	1.82
28-4	a-Si:H	88.92	321.9	3.62-0.3i
28-5	a-SiNx:H	174.76	318.1	1.82
28-6	a-Si:H	87.56	317	3.62-0.3i
28-7	a-SiNx:H	173.24	315.3	1.82
28-8	a-Si:H	87.97	318.5	3.62-0.3i
28-9	a-SiNx:H	176.86	321.9	1.82
28-10	a-Si:H	87.21	315.7	3.62-0.3i
28-11	a-SiNx:H	174.12	316.9	1.82
28-12	a-Si:H	91.78	332.3	3.62-0.3i
28-13	a-SiNx:H	72.72	132.3	1.82
	空氣			1

該表 3 摘自證據 2 對照於證據 2-1 中文翻譯本第 6 頁

(4)第 12 圖係帶通濾波器的透射率曲線

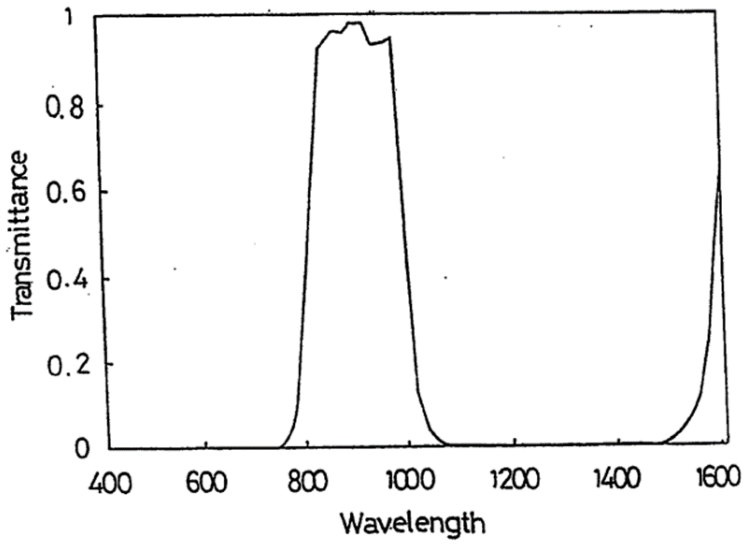


FIG.12

證據 3 主要圖式

(1)第 6 圖係示例性光伏裝置中示例性材料折射率的折射率（n）對波長（nm）之曲線圖

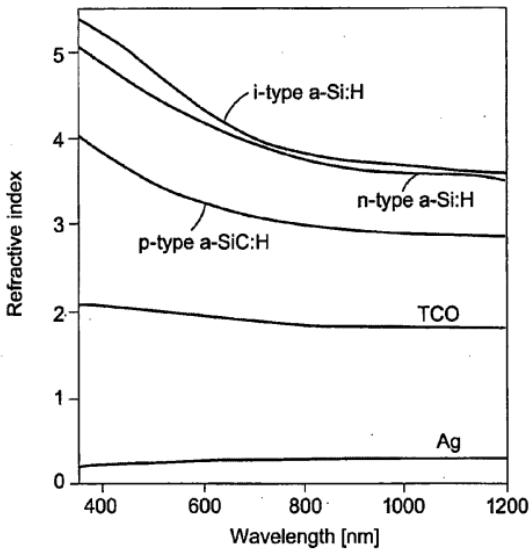


Fig. 6

(2)第 7 圖係示例性光伏裝置中示例性材料吸光係數的吸光係數(k)對波長(nm)之曲線圖

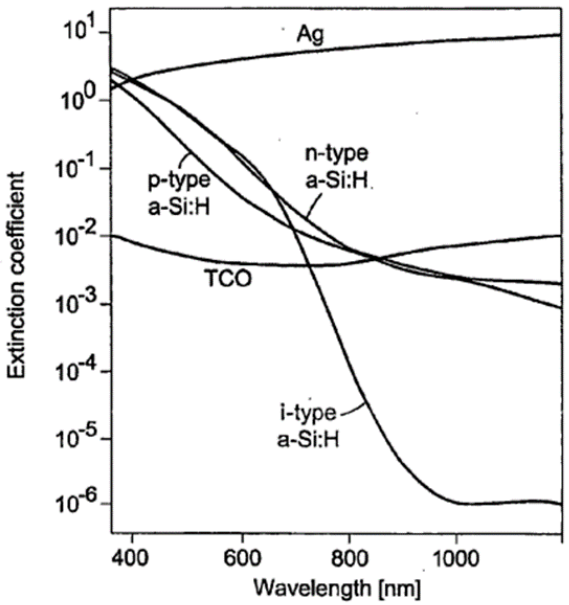


Fig. 7

證據 9 主要圖式

(1)圖 10 係第三實施例之一種感測系統的立體示意圖

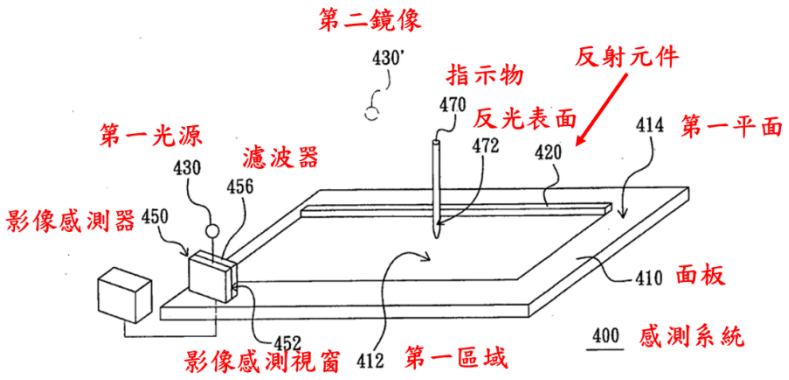


圖10

證據 10 主要圖式

(1)圖 1 係一個實施例的組合式影像感測器 100

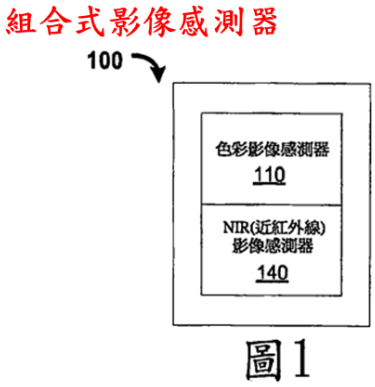


圖 1

(2)圖 4 係 3-D 照相機，其使用依據一個實施例的前端區塊

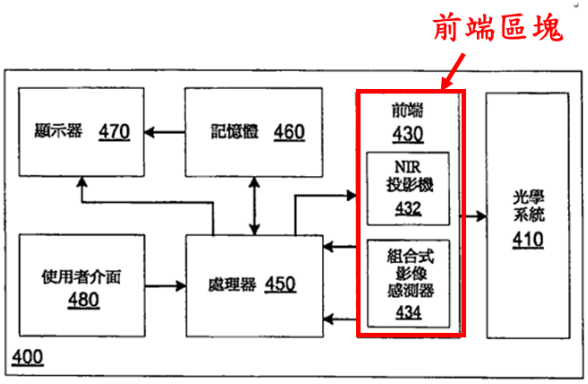


圖 4

證據 12 主要圖式

(1)第 7 圖係本發明的晶片級圖像傳感器模塊的截面圖

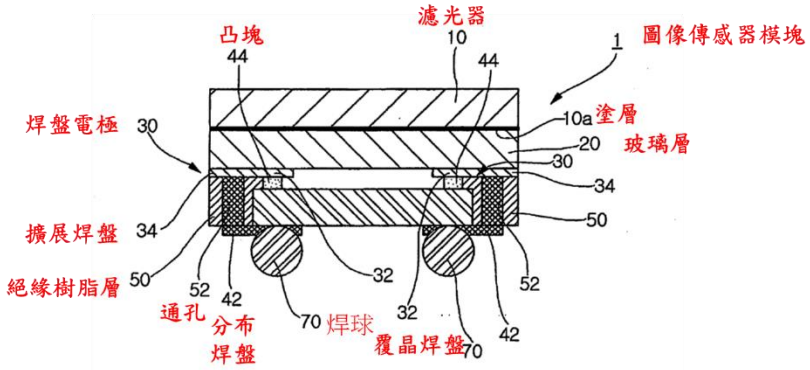


FIG. 7

證據 13 主要圖式

(1)表 2 係 a-Si:H 與 a-SiNx：H 薄膜的平均色散折射率

表 2. a-Si:H 與 a-SiN_x:H 薄膜的平均色散折射率

波長(nm)	*n-ik*	
	(a-Si:H)	(a-SiN_x:H)
400	3.650-*i*0.500	1.830-*i*0.002
500	3.620-*i*0.300	1.820
600	3.600-*i*0.100	1.800
700	3.570-*i*0.040	1.790
800	3.530-*i*0.004	1.785
900	3.470	1.780
1000	3.400	1.776
1200	3.350	1.770
1500	3.340	1.765

該表 2 摘自證據 13 對照於證據 13-1 中文翻譯本第 5 頁

(2)圖 5(a)及(b)係五層帶通濾波器的實測光譜透射率曲線

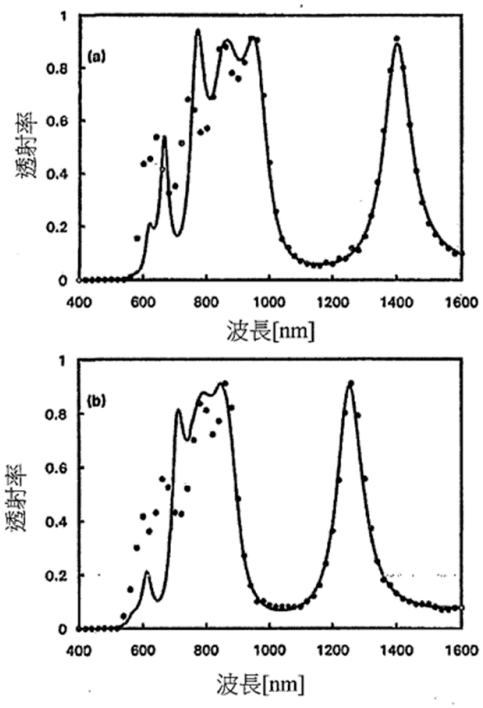


圖 5 五層帶通濾波器的實測光譜透射率曲線。實線及實心圓分別表示實驗測量與計算的光譜透射率。(a)空氣/HLHHLH /玻璃，(b)空氣/0.96H0.96L0.96H0.96H0.96L0.96H/玻璃。

該圖 5(a)及(b)摘自證據 13 對照於證據 13-1 中文翻譯本第 6 頁

證據 16 主要圖式

(1)第 4 圖係α-Si:H 和 Si:H 的折射率和消光係數是波長的函數

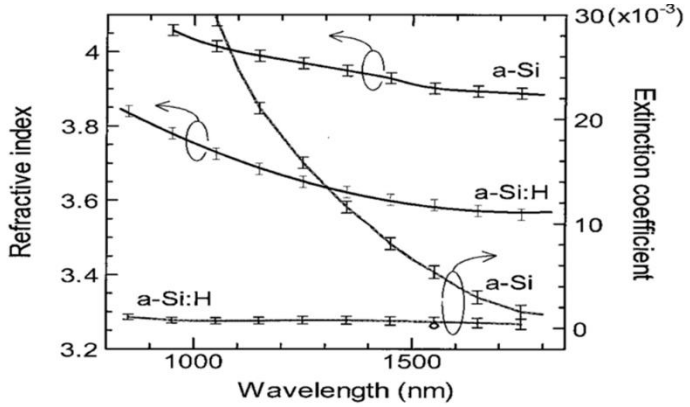
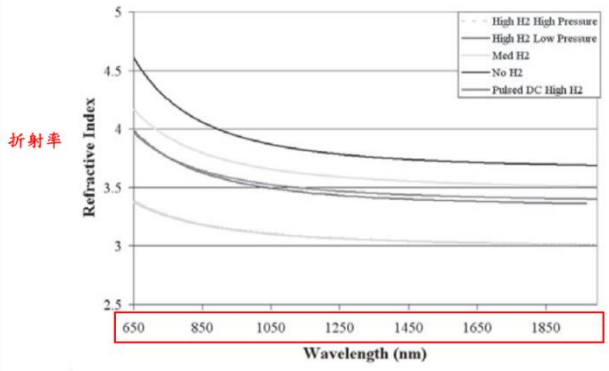


圖4α-Si:H和Si:H的折射率和消光係數是波長的函數。

該第 4 圖摘自證據 16 對照於中文翻譯本第 3550 頁

證據 17 主要圖式

(1)圖 2 係非晶矽的折射率隨著氫濃度和總系統壓力的增加而降低

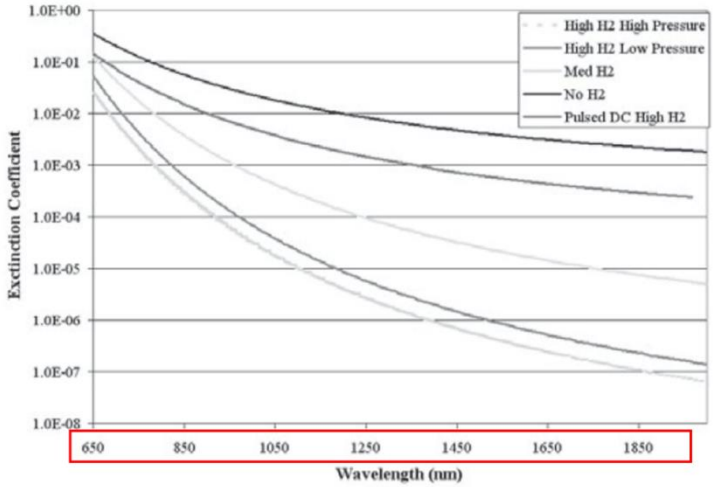


折射率

圖2：非晶矽的折射率隨著氫濃度和總系統壓力的增加而降低。除非另有說明，否則所有樣品的生產均採用40 kHz交流工藝。

該圖摘自證據 17 對照於中文翻譯本第 328 頁

(2)圖 3 係非晶矽的消光係數隨著氫氣濃度和總系統壓力的增加而降低



消光係數

圖3：非晶矽的消光係數隨著氫氣濃度和總系統壓力的增加而降低。請注意，在相同條件下與脈衝式直流工藝相比，高氫氣濃度高壓交流工藝的消光係數要低得多。

該圖摘自證據 17 對照於中文翻譯本第 328 頁

證據 7 主要圖式

(1)典型曲線顯示有效指數 n*如何隨順序編號變化在圖 7.11 內顯低折射率和高折射率墊片情況

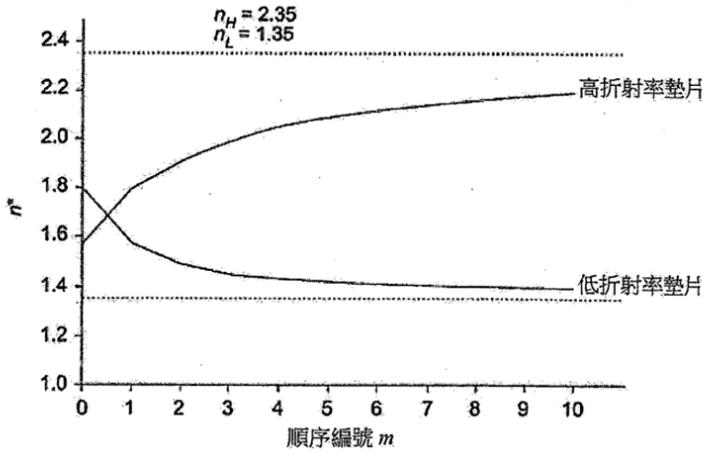


圖 7.11 針對由硫化鋅(n=2.35)和冰晶石(n=1.35)製成的 Fabry-Perot 濾光片，繪製有效指數 n^* 與順序編號 m 的關係圖。結果由表示式(7.35)和(7.36)計算得出。

該圖摘自證據 7 對照於中文翻譯本第 287 頁